

АСИМПТОТИЧЕСКОЕ ПОВЕДЕНИЕ ПОЛЮСОВ ($\lambda-1$)-Й СТРОКИ ТАБЛИЦЫ ПАДЕ

В.М. Адуков, Д.Н. Микушин

Целью работы является численное моделирование асимптотического поведения знаменателей аппроксимаций Паде для строки с номером $(\lambda-1)$. Рассмотрены примеры, демонстрирующие разнообразие геометрии множества предельных точек полюсов аппроксимации Паде.

Эта работа является продолжением статей [1], [2]. В них рассматривалась мероморфная в круге $|z| < R$ и аналитическая в окрестности $z = 0$ функция $a(z)$, имеющая в точках z_1, \dots, z_ℓ полюсы кратностей s_1, \dots, s_ℓ , соответственно. Пусть $\lambda = s_1 + \dots + s_\ell$ – общее число полюсов $a(z)$ в данном круге. В работах [1], [2] построена полная теория сходимости $(\lambda - 1)$ -й строки таблицы Паде для функции $a(z)$. Оказалось, что предельное поведение полюсов аппроксимации Паде $\pi_{n,\lambda-1}(z) = \frac{P_{n,\lambda-1}(z)}{Q_{n,\lambda-1}(z)}$ при $n \rightarrow \infty$ полностью определяется арифметической природой доминирующих полюсов z_1, \dots, z_ν функции $a(z)$ и коэффициентами A_1, \dots, A_ν старших членов ряда Лорана $a(z)$ в окрестности этих полюсов. Доминирующими полюсами мы называем те полюсы $a(z)$ максимального модуля, которые имеют максимальную кратность. Предельные точки множества полюсов семейства $\{\pi_{n,\lambda-1}(z)\}_{n=0}^\infty$ состоят из точек z_1, \dots, z_ℓ и нулей семейства многочленов $\omega(z, \tau) = \sum_{j=1}^\nu C_j \Delta_j(z) \tau_j$. Последнее множество назовем множеством дополнительных предельных точек и обозначим \mathcal{N}_F . Формула для вычисления коэффициентов C_j имеет следующий вид

$$C_j = \frac{1}{(s_j - 1)! z_j^{s_j - 1} D_j^2(z_j) A_j}, \quad (1)$$

где $D_j(z) = \frac{D(z)}{(z - z_j)^{s_j}}$, $D(z) = (z - z_1)^{s_1} \dots (z - z_\ell)^{s_\ell}$ и A_j – коэффициент при $(z - z_j)^{-s_j}$ в разложении мероморфной функции $a(z)$ в ряд Лорана в окрестности полюса $z = z_j$. Многочлены $\Delta_j(z)$ и параметры τ_j определяются следующим образом: $\Delta_j = \frac{\Delta(z)}{z - z_j}$; $\Delta(z) = (z - z_1) \dots (z - z_\nu)$; $\tau = (\tau_1, \dots, \tau_\nu) \in F$, где F – монотетическая подгруппа тора T^ν , полученная замыканием циклической группы с образующей $(e^{2\pi i \Theta_1}, \dots, e^{2\pi i \Theta_\nu})$; $2\pi i \Theta_j$ – аргумент z_j . Группа F явно вычислена в [1]. Геометрия \mathcal{N}_F в некоторых важных частных случаях изучена в [2].

Цель данной работы – проиллюстрировать на числовых примерах результаты, полученные в [2]. Кроме того, вычисляя нули достаточно обширного подмножества семейства $\{\omega(z, \tau)\}_{\tau \in F}$, мы численно промоделируем геометрию \mathcal{N}_F в тех случаях, когда явно построить это множество не удается. Все вычисления выполнены с использованием системы "Maple". Были созданы процедура нахождения группы F по матрице линейных зависимостей аргументов $\Theta_1, \dots, \Theta_\nu$ (см. §1 статьи [1]), процедура вычисления коэффициентов C_j и процедура нахождения знаменателей аппроксимаций Паде типа $(n, \lambda - 1)$ для рациональной дроби $r(z)$ с помощью рекуррентного процесса

$$V_{k+1}(z) = zV_k(z) - v_k D(z), \quad k \geq 0. \quad (2)$$

Здесь v_k старший коэффициент многочлена $V_k(z)$, а начальное условие $V_0(z)$ находится с помощью алгоритма Евклида из уравнения Безу $U_0(z)D(z) + V_0(z)N(z) = 1$, $r(z) = \frac{N(z)}{D(z)}$ – рациональная часть мероморфной функции $a(z)$. Последняя процедура значительно эффективнее стандартной функции "pade" пакета "Maple6".

¹⁰ Рассмотрим прежде всего случай $\nu = 1$. Теорема 1 из [2] утверждает, что в этом и только в этом случае вся последовательность $Q_{n,\lambda-1}(z)$ имеет предел. Продемонстрируем этот факт примером.

Пример 1. Рассмотрим мероморфную функцию

$$a(z) = e^z + \frac{1}{(z-1)(z+2)(z-2)^2}$$

с рациональной частью

$$r(z) = \frac{1}{(z-1)(z+2)(z-2)^2}.$$

В этом случае имеется только один доминирующий полюс $z = 2$ кратности 2 и $\nu = 1$, $\lambda = 4$. Обозначим через $Q_n(a, z)$ и $Q_n(r, z)$ нормированные знаменатели аппроксимаций Паде типа $(n, 3)$ для функций $a(z)$ и $r(z)$, соответственно. По теореме 1 имеем

$$\lim_{n \rightarrow \infty} Q_n(a, z) = \lim_{n \rightarrow \infty} Q_n(r, z) = W(z),$$

где $W(z) = (z-1)(z+2)(z-2) = 4 - 4z - z^2 + z^3$

В таблице (см. Приложение) приведены результаты численной проверки с помощью функции "pade" системы "Maple6" асимптотического поведения знаменателей $Q_n(a, z)$ и $Q_n(r, z)$ для $n \in [1; 200]$, которые подтверждают этот вывод.

²⁰. Полное описание геометрии множества \mathcal{N}_F имеется только при $\nu = 2$ (см. теорему 2 в [2]). Если доминирующие полюсы z_1, z_2 лежат в вершинах правильного σ -угольника, то \mathcal{N}_F состоит из конечного числа (σ или $\sigma - 1$) точек, лежащих на окружности Аполлония

$$\left| \frac{z - z_1}{z - z_2} \right| = \left| \frac{C_1}{C_2} \right|. \quad (3)$$

В противном случае множество \mathcal{N}_F совпадает со всей окружностью Аполлония. Заметим, что окружность Аполлония может вырождаться в прямую при $\left| \frac{C_1}{C_2} \right| = 1$.

Проиллюстрируем случай, когда конечное число дополнительных предельных точек лежит на прямой.

Пример 2. Рассмотрим мероморфную функцию с рациональной частью

$$r(z) = \frac{1}{z-1} + \frac{1}{4(i+\frac{1}{2})^2(z+i)} + \frac{1}{z-\frac{1}{2}}$$

Доминирующие полюсы есть $z_1 = 1$ и $z_2 = -i$, $\nu = 2$, полюсы лежат в точках деления окружности на 4 равные части. Лорановские коэффициенты A_1, A_2 равны соответственно $A_1 = 1, A_2 = 4(i + \frac{1}{2})^{-2}$.

Вычисления показывают, что

$$\left| \frac{C_1}{C_2} \right| = \left| \frac{A_2}{A_1} \right| \left| \frac{(z_2 - z_3)}{(z_1 - z_3)} \right|^2 = 1,$$

В данном примере формально мы имеем 4 дополнительные предельные точки, которые являются корнями многочленов

$$\omega_j(z) = C_1(z - z_2) + C_2 e^{\frac{-\pi i j}{2}}(z - z_1), \quad j = 0, 1, 2, 3.$$

Легко показать, что $\omega_2 = \text{const}$, следовательно, корней у данного многочлена нет, поэтому в действительности мы имеем только три дополнительные предельные точки (случай вырождения), являющиеся корнями многочленов $\omega_0, \omega_1, \omega_3$. Эти корни есть

$$\zeta_0 = \frac{1-i}{2}, \quad \zeta_1 = 1-i, \quad \zeta_2 = -\frac{1}{2} + \frac{i}{2}, \quad \zeta_3 = 0.$$

Таким образом, множество \mathcal{N}_F состоит из конечного числа точек, лежащих на прямой. Расположение дополнительных предельных точек в данном случае изображено на рис. 1a.

Следующий пример демонстрирует случай, когда имеется континuum дополнительных предельных точек, лежащих на окружности Аполлония.

Пример 3. Рассмотрим мероморфную функцию с рациональной частью

$$r(z) = \frac{1}{(z-1)(z-e^{2\pi i \sqrt{2}})(z-\frac{1}{2})}.$$

Доминирующие полюсы: $z_1 = 1$ и $z_2 = e^{2\pi i \sqrt{2}}$, $\nu = 2$, $\lambda = 3$. Ясно, что полюсы z_1, z_2 не лежат в точках деления окружности на равные части, следовательно множество дополнительных предельных точек заполняет всю окружность Аполлония (3), где

$$\left| \frac{C_1}{C_2} \right| = \sqrt{5 - 4 \cos 2\pi\sqrt{2}}.$$

Эта окружность построена на рис. 1b. С помощью функции "pade" легко проверить, что многочлены $Q_n(a, z)$ и $Q_n(r, z)$ становятся достаточно близкими уже начиная с $n = 10$. Поэтому предельные точки множества полюсов аппроксимаций Паде при большом n достаточно близки к нулям знаменателей $Q_n(r, z)$ аппроксимаций Паде для рациональной функции $r(z)$. Поскольку при больших n вычисления $Q_n(r, z)$ с помощью функции "pade" требуют больших затрат времени, мы найдем многочлены $Q_n(r, z)$ с помощью рекуррентной процедуры (2). На рис. 1b показаны нули этих многочленов для $n \in [10, 200]$. Хорошо видно, что все они лежат на окружности Аполлония достаточно плотно заполняя ее.

3⁰. При $\nu \geq 3$ геометрия \mathcal{N}_F изучена только в некоторых частных случаях. Среди них самый важный – это случай линейно независимых над полем рациональных чисел \mathbb{Q} аргументов $\Theta_0 = 1, \Theta_1, \dots, \Theta_\nu$, когда \mathcal{N}_F состоит из замкнутых областей

$$|C_j \Delta_j(z)| \leq \sum_{\substack{k=1 \\ k \neq j}}^{\nu} |C_k \Delta_k(z)|, \quad j = 1, \dots, \nu, \tag{4}$$

(теорема 3 в [3]). Это множество обозначим \mathcal{N} . Легко показать, что всегда $\mathcal{N}_F \subseteq \mathcal{N}$.

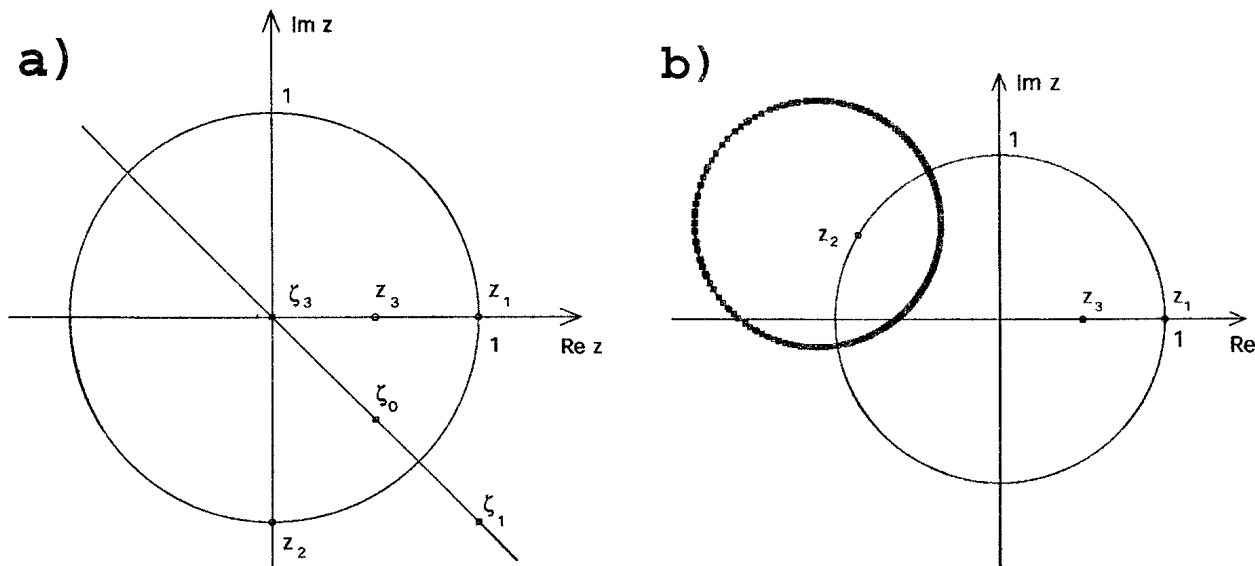


Рис. 1. а) Конечное число предельных точек на прямой ($\nu = 2$), б) континuum предельных точек на окружности Аполлония ($\nu = 2$).

Пример 4. Рассмотрим мероморфную функцию

$$a(z) = e^z + \frac{z^2 + z}{(z - e^{2\pi i \sqrt{2}})(z - e^{2\pi i \sqrt{3}})(z - e^{2\pi i \sqrt{5}})(z - \frac{1}{2})}$$

с рациональной частью

$$r(z) = \frac{z^2 + z}{(z - e^{2\pi i \sqrt{2}})(z - e^{2\pi i \sqrt{3}})(z - e^{2\pi i \sqrt{5}})(z - \frac{1}{2})}$$

Здесь доминирующие полюсы есть

$$z_1 = e^{2\pi i \sqrt{2}} = -0.8582161855 + 0.5132883974 i,$$

$$z_2 = e^{2\pi i \sqrt{3}} = -0.1125391807 - 0.9936472879 i,$$

$$z_3 = e^{2\pi i \sqrt{5}} = 0.08742571683 + 0.9961710416 i.$$

Аргументы $\Theta_1 = \sqrt{2}$, $\Theta_2 = \sqrt{3}$, $\Theta_3 = \sqrt{5}$ линейно независимы по модулю \mathbb{Z} над полем \mathbb{Q} . Вычисления коэффициентов C_j формуле (1) дают следующие значения:

$$C_1 = 0.7040076094 + 0.1709505671 i, \quad C_2 = 0.07853024260 + 0.1743759673 i,$$

$$C_3 = 0.2927491140 + 0.04486932302 i.$$

Граница множества \mathcal{N} состоит из 4 связных компонент. Область \mathcal{N} выделена на рис. 2а серым цветом. Для проверки равенства $\mathcal{N}_{\mathbb{F}} = \mathcal{N}$ мы используем рекуррентную процедуру (2). Результат работы процедуры представлен на рис. 2б. Видно, что нули $Q_{n,\lambda-1}(r, z)$ действительно заполняют область \mathcal{N} .

4⁰. В теореме 4 [2] представлен еще один случай, когда множество $\mathcal{N}_{\mathbb{F}}$ вычисляется явно. Из указанной теоремы нетрудно получить два важных следствия.

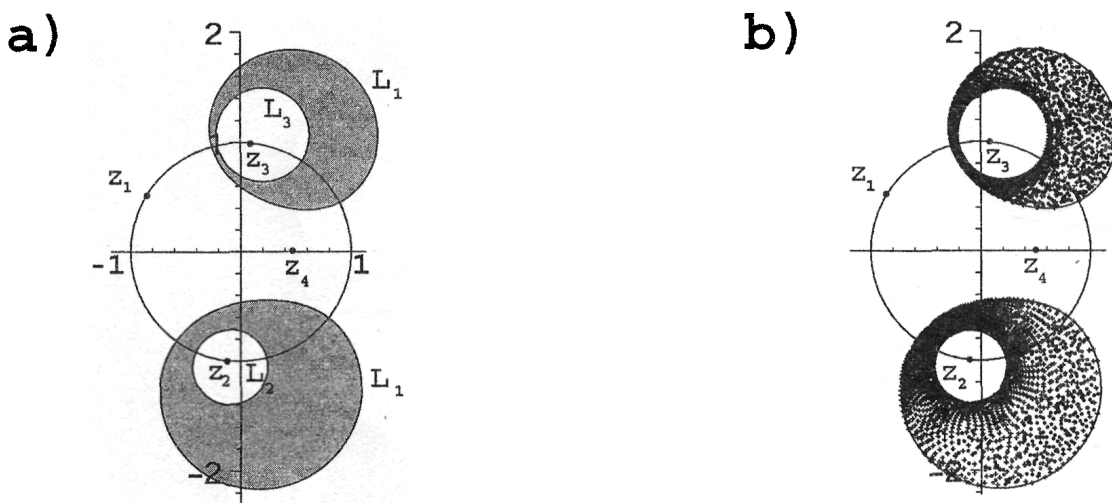


Рис. 2. а) Область $N_F = \mathcal{N}$ для линейно независимых аргументов, б) результат работы рекуррентного процесса (4000 итераций).

Следствие 1. Пусть $\Theta_0 = 1$, Θ_1 линейно независимы над \mathbb{Q} ($r = 1$) и $\Theta_2, \dots, \Theta_\nu$ – рациональные числа, причем

$$\Theta_k = \frac{n_k}{\sigma}, \quad k = 2, \dots, \nu, \quad 0 \leq n_k \leq \sigma - 1.$$

Тогда множество N_F состоит из σ линий

$$|C_1\Delta_1(z)| = \rho^{-n} \left| \sum_{k=2}^{\nu} C_k \Delta_k(z) z_k^n \right|, \quad n = 0, 1, \dots, \sigma - 1.$$

Рассмотрим числовой пример, иллюстрирующий это следствие.

Пример 5. Пусть

$$r(z) = \frac{2z - 5}{(z - e^{2\pi i \sqrt{5}})(z + 1)(z - 1)(z - \frac{1}{2})}.$$

Тогда $r = 1$, $\sigma = 2$ и множество N_F состоит из двух линий

$$\mathcal{N}^0 : \quad |C_1\Delta_1(z)| = |C_2\Delta_2(z) + C_3\Delta_3(z)|$$

и

$$\mathcal{N}^1 : \quad |C_1\Delta_1(z)| = |C_2\Delta_2(z) - C_3\Delta_3(z)|.$$

Здесь

$$C_1 = 0.007700973064 - 0.08883928653i,$$

$$C_2 = 0.02380952381 - 0.02181147435i,$$

$$C_3 = -0.1666666667 - 0.1819342381i.$$

На рис. 3а построены эти линии. Оказалось, что \mathcal{N}^1 распадается на две связные компоненты. На этом же рисунке показаны нули многочленов $V_n(z)$, т.е. нули знаменателей аппроксимаций Паде рациональной функции $r(z)$, для $n \in [10, 500]$. Видно, что они действительно заполняют линии \mathcal{N}^0 и \mathcal{N}^1 .

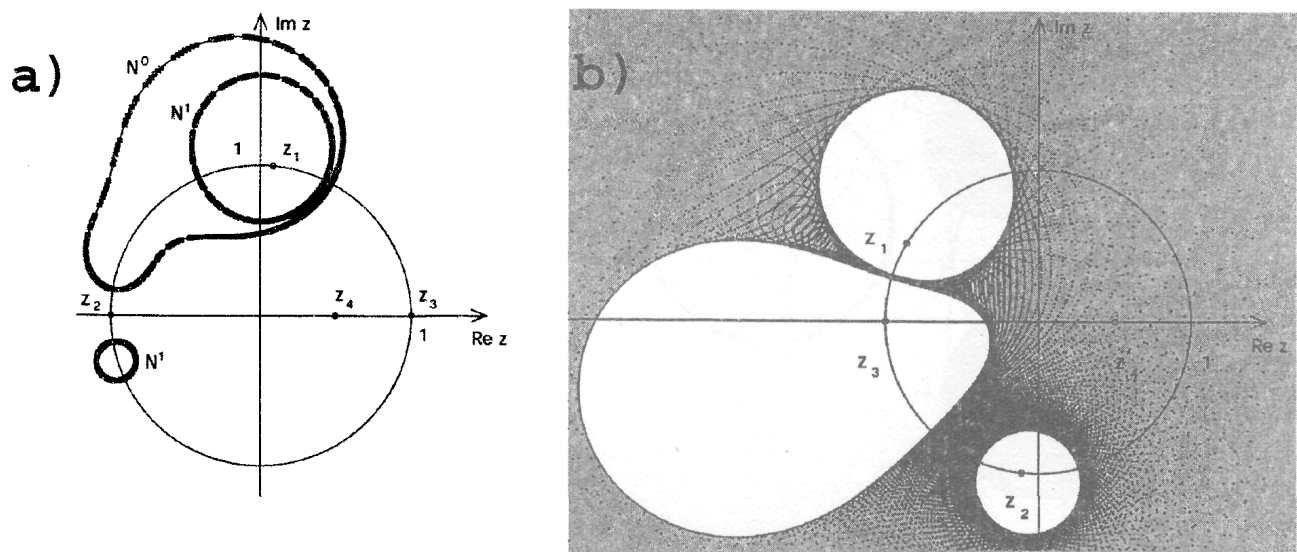


Рис. 3. a) Пример множества $\mathcal{N}_{\mathbb{F}}$, состоящего из конечного числа линий в случае $r = 1$,
b) заполнение множества \mathcal{N} нулями многочленов из семейства $\omega(z, \tau)$ в случае $r = \nu - 1$.

Следствие 2. Если $\Theta_0 = 1, \Theta_1, \dots, \Theta_{\nu-1}$ линейно независимы над \mathbb{Q} ($r = \nu - 1$) и Θ_{ν} – рациональное число, то множество $\mathcal{N}_{\mathbb{F}} = \mathcal{N}$.

Рассмотрим пример.

Пример 6. Пусть

$$r(z) = \frac{z}{(z - e^{2\pi i\sqrt{2}})(z - e^{2\pi i\sqrt{3}})(z + 1)(z - \frac{1}{2})}.$$

В этом случае $\nu = 3$, $r = 2$, $\sigma = 2$.

По следствию 2 имеем $\mathcal{N}_{\mathbb{F}} = \mathcal{N}$. Для проверки этого равенства найдем нули достаточно обширного подмножества семейства многочленов $\omega(z, \tau)$, $\tau \in \mathbb{F}$. На рис. 3b область \mathcal{N} показана серым цветом и продемонстрировано ее заполнение нулями семейства $\omega(z, \tau)$, когда на торе T^2 взято 140^2 точек.

Продемонстрируем теорему 4 [2] в случае $1 \leq r \leq \nu - 1$. Следующий пример показывает, что при этом множество $\mathcal{N}_{\mathbb{F}}$ является подмножеством \mathcal{N} .

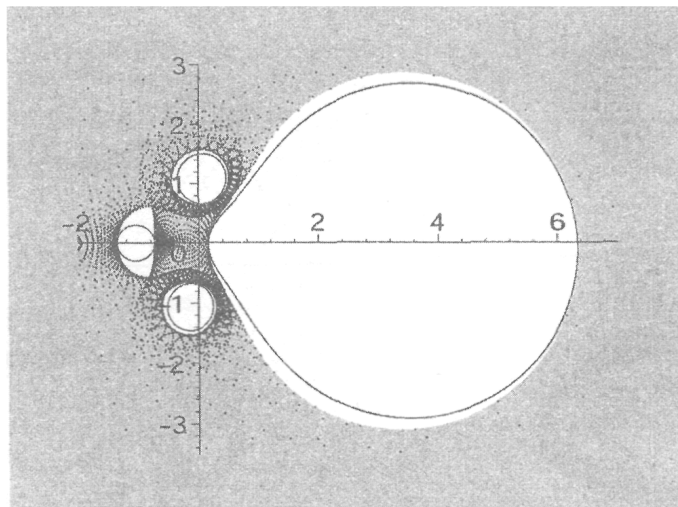
Пример 7. Пусть

$$r(z) = \frac{z^3}{(z - e^{2\pi i\sqrt{5}})(z - e^{2\pi i\sqrt{3}})(z - 1)(z + 1)(z - \frac{1}{2})}.$$

Доминирующие полюсы в этом случае есть

$$z_1 = e^{2\pi i\sqrt{5}}, \quad z_2 = e^{2\pi i\sqrt{3}},$$

$$z_3 = 1, \quad z_4 = -1.$$

Рис. 4. Пример множества N_F не совпадающего с N .

Здесь $\Theta_0 = 1, \Theta_1 = \sqrt{5}, \Theta_2 = \sqrt{3}$ линейно независимы над \mathbb{Q} , $\Theta_3 = 0, \Theta_4 = \frac{1}{2}$. По теореме 4 [2] область N_F является частью области N . Границы множества N_F , найденные по этой теореме, есть

$$\begin{aligned} L_1 : & \left| \frac{C_3}{(z-z_3)} + \frac{C_4}{(z-z_4)} \right| = \left| \frac{C_1}{(z-z_1)} \right| + \left| \frac{C_2}{(z-z_2)} \right| \\ L_2 : & \left| \frac{C_1}{(z-z_1)} \right| = \left| \frac{C_3}{(z-z_3)} + \frac{C_4}{(z-z_4)} \right| + \left| \frac{C_2}{(z-z_2)} \right| \\ L_3 : & \left| \frac{C_2}{(z-z_2)} \right| = \left| \frac{C_3}{(z-z_3)} + \frac{C_4}{(z-z_4)} \right| + \left| \frac{C_1}{(z-z_1)} \right| \\ L_4 : & \left| \frac{C_3 z_3}{(z-z_3)} + \frac{C_4 z_4}{(z-z_4)} \right| = \left| \frac{C_1}{(z-z_1)} \right| + \left| \frac{C_2}{(z-z_2)} \right| \\ L_5 : & \left| \frac{C_1}{(z-z_1)} \right| = \left| \frac{C_3 z_3}{(z-z_3)} + \frac{C_4 z_4}{(z-z_4)} \right| + \left| \frac{C_2}{(z-z_2)} \right| \\ L_6 : & \left| \frac{C_2}{(z-z_2)} \right| = \left| \frac{C_3 z_3}{(z-z_3)} + \frac{C_4 z_4}{(z-z_4)} \right| + \left| \frac{C_1}{(z-z_1)} \right|. \end{aligned}$$

На рис. 4 построена граница области N , область $N_F \subset N$ окрашена серым цветом, и показаны нули знаменателей аппроксимаций Паде $r(z)$, найденные с помощью рекуррентной процедуры (2) при 3500 итерациях.

5⁰. Рассмотрим теперь примеры функций, для которых множество N_F в явном виде в работах [1], [2] не найдено. Прежде всего изучим случай $r = 1$.

Пример 8. Пусть мероморфная функция имеет рациональную часть

$$r(z) = \frac{z^2 - 2z + 5}{(z - e^{2\pi i \sqrt{3}})(z - e^{2\pi i (1/2 - \sqrt{3}/3)})(z - e^{2\pi i (1+3\sqrt{3}/4)})(z - \frac{1}{2})}$$

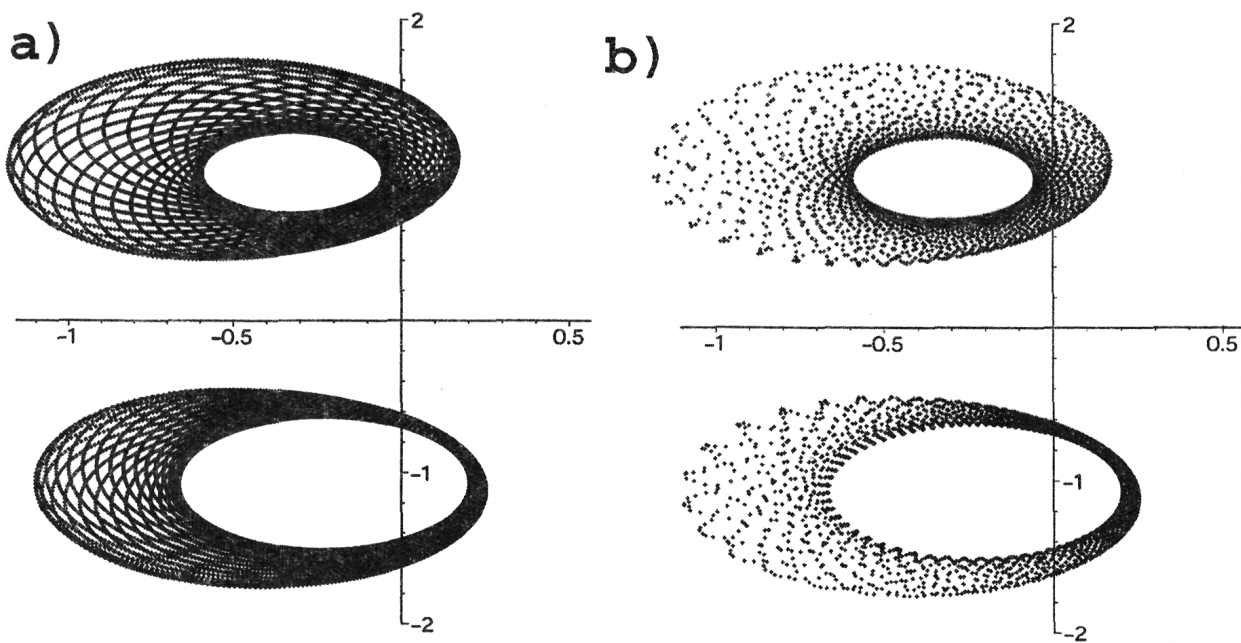


Рис. 5. а) Расположение предельных точек в случае $r = 1, \nu = 3$, б) результат работы рекуррентного процесса (3500 итераций).

Тогда $\Theta_0 = 1, \Theta_1 = \sqrt{3}, \Theta_2 = \frac{1}{2}\Theta_0 - \frac{1}{3}\Theta_1, \Theta_3 = \Theta_0 + \frac{3}{4}\Theta_1$ и матрица линейных зависимостей имеет вид

$$R = \begin{pmatrix} 1/2 & -1/3 \\ 1 & 3/4 \end{pmatrix}.$$

Вычисление группы параметров \mathbb{F} для данных линейных зависимостей дает следующий результат:

$$\mathbb{F} = \{(t_1^{-12}, (-1)^j t_1^4, t_1^{-9}) | t_1 \in \mathbb{T}, j = 0, 1\}.$$

В нашем случае теория не дает точного ответа о геометрии множества дополнительных предельных точек, поэтому промоделируем построение этого множества, вычисляя нули достаточно обширного подмножества семейства $\omega(z, \tau)$. Результаты этого моделирования показаны на рис. 5а. Здесь окружность \mathbb{T} разбита на двадцать тысяч равных сегментов и параметр t_1 принимает дискретные значения. Этот и другие аналогичные примеры позволяют сделать предположение о том, что множество $\mathcal{N}_{\mathbb{F}}$ в случае $r = 1$ состоит из конечного числа линий.

Сравним теперь результаты моделирования множества $\mathcal{N}_{\mathbb{F}}$ с численным экспериментом. Для этого воспользуемся рекуррентным процессом (2). На рис. 5б показаны результаты этого эксперимента.

Как мы видели выше (см. пример 6) множество $\mathcal{N}_{\mathbb{F}}$ может совпадать с \mathcal{N} не только для линейно независимых $\Theta_0 = 1, \Theta_1, \dots, \Theta_{\nu}$. Как показывают следующие примеры это может осуществляться достаточно часто. Рассмотрим вначале такой случай, когда $r = \nu - 1$, но не выполняются условия следствия 2.

Пример 9.

$$r(z) = \frac{1}{(z - e^{2\pi i \sqrt{2}})(z - e^{2\pi i \sqrt{3}})(z - e^{2\pi i \Theta_3})(z - \frac{1}{2})},$$

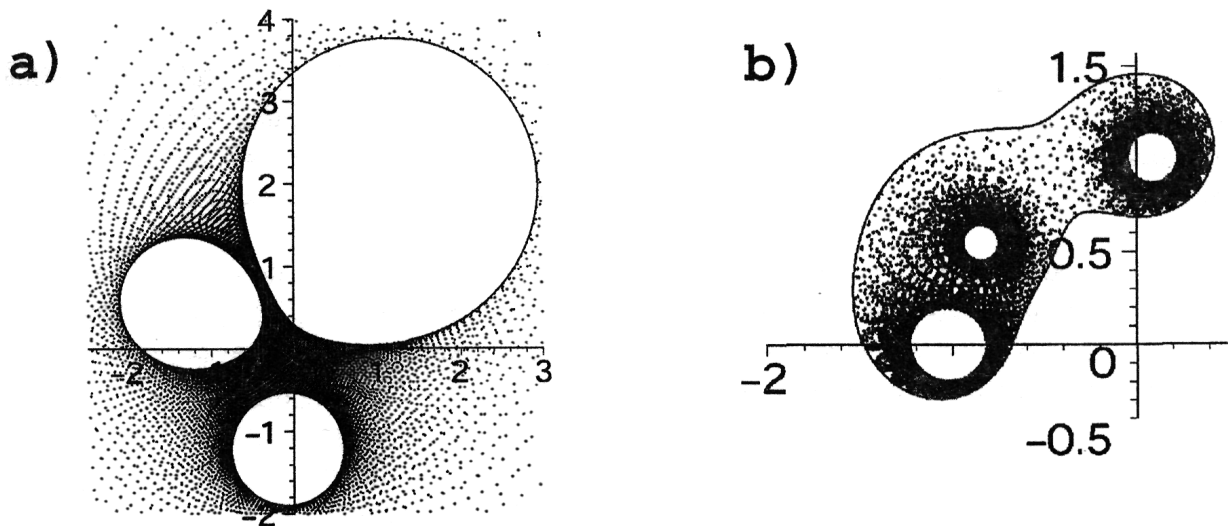


Рис. 6. а) Совпадение $\mathcal{N}_F = \mathcal{N}$ в случае $r = \nu - 1$ (пример 9), б) совпадение $\mathcal{N}_F = \mathcal{N}$ в случае $1 \leq r \leq \nu - 2$ (пример 10).

Здесь $\Theta_3 = \frac{1}{2}\Theta_0 + \Theta_1 + \frac{3}{4}\Theta_2$. На рис. 6а показано заполнение множества \mathcal{N}_F нулями семейства многочленов $\omega(z, \tau)$, когда на торе \mathbb{T}^2 взято 160^2 точек. Это моделирование достаточно убедительно подтверждает равенство $\mathcal{N}_F = \mathcal{N}$.

Промоделируем построение множества \mathcal{N}_F для $1 \leq r \leq \nu - 2$. Оказывается, что и в этом случае возможно совпадение множеств \mathcal{N}_F и \mathcal{N} .

Пример 10.

$$r(z) = \frac{A_1}{(z - e^{2\pi i\sqrt{3}})} + \frac{A_2}{(z - e^{2\pi i\sqrt{5}})} + \frac{A_3}{(z - e^{2\pi i\Theta_3})} + \frac{A_4}{(z - e^{2\pi i\Theta_4})},$$

$$\Theta_3 = \frac{1}{2}, \Theta_4 = \Theta_1 + \frac{3}{4}\Theta_2.$$

Здесь нам удобнее задать значения C_j :

$$C_1 = 10, \quad C_2 = -1, \quad C_3 = -2, \quad C_4 = -1$$

и по формуле (1) восстановить следующие значения A_j :

$$A_1 = 0.002650640428 + 0.004101033363i,$$

$$A_2 = -0.06279967837 - 0.08717534896i,$$

$$A_3 = 0.2925425007 + 0.2844910223i,$$

$$A_4 = -0.3431243703 + 0.9610937484i.$$

Группа параметров F имеет следующий вид

$$F = \{(t_1^{-1}t_2^{-3}, (-1)^j t_1^{-6}, t_2, t_1^{-5}t_2^{-3}) \mid (t_1, t_2) \in \mathbb{T}^2, j = 0, 1\}.$$

На рис. 6б показано заполнение множества \mathcal{N}_F нулями семейства многочленов $\omega(z, \tau)$, когда на торе \mathbb{T}^2 взято 2×80^2 точек. Скорее всего и в этом случае выполняется равенство $\mathcal{N}_F = \mathcal{N}$.

Заключение

Моделирование на числовых примерах асимптотического поведения полюсов аппроксимаций Паде $(\lambda - 1)$ -й строки показало полное согласие с ранее развитой теорией. Продемонстрировано разнообразие геометрии множества предельных точек \mathcal{N}_F . В случаях, когда множество \mathcal{N}_F явно не найдено, численное моделирование позволило выдвинуть ряд предположений о его структуре.

Авторы благодарят за финансовую поддержку Российский фонд фундаментальных исследований (проект N 01-01-96422). Кроме того, один из авторов (Д.Н. Микушин) благодарит за финансовую поддержку программу молодежных грантов для студентов, аспирантов и молодых ученых Челябинской области.

Литература

1. Адуков В.М. – О равномерной сходимости подпоследовательностей $(\lambda - 1)$ -й строки таблицы Паде// *Известия Челябинского научного центра*. – 2001. – Вып. 1. – С. 3–7.
2. Адуков В.М. – О геометрии множества предельных точек полюсов $(\lambda - 1)$ -й строки таблицы Паде// *Известия Челябинского научного центра*. – 2001. – Вып. 1. – С. 8–11.

ПРИЛОЖЕНИЕ

Сравнение предельного поведения знаменателей аппроксимаций Паде для мероморфной функции и для ее рациональной части

Табл. Знаменатели аппроксимаций Паде для примера 1

n	$Q_n(r, z), Q_n(a, z)$
1	$Q_1(r, z) = 2.181818182 - 2.545454545 z - 0.5454545455 z^2 + z^3$ $Q_1(a, z) = 2.195765082 + 0.2253296045 z - 0.8365960847 z^2 + z^3$
2	$Q_2(r, z) = 3.259259259 - 4.000000000 z - 0.2222222222 z^2 + z^3$ $Q_2(a, z) = -5.112562852 + 8.917347241 z - 4.541724681 z^2 + z^3$
3	$Q_3(r, z) = 2.880000000 - 3.146666667 z - 0.7200000000 z^2 + z^3$ $Q_3(a, z) = -6.078460011 + 10.22941291 z - 4.956565554 z^2 + z^3$
4	$Q_4(r, z) = 3.508771930 - 4.000000000 z - 0.5029239766 z^2 + z^3$ $Q_4(a, z) = 51.00773518 - 63.97380408 z + 11.88952593 z^2 + z^3$
5	$Q_5(r, z) = 3.203747073 - 3.400468384 z - 0.8009367681 z^2 + z^3$ $Q_5(a, z) = 4.476359610 - 2.522937121 z - 2.974811072 z^2 + z^3$
...
20	$Q_{20}(r, z) = 3.875000031 - 4.000000000 z - 0.8750000084 z^2 + z^3$ $Q_{20}(a, z) = 3.875000029 - 3.999999998 z - 0.8750000092 z^2 + z^3$
21	$Q_{21}(r, z) = 3.764705897 - 3.823529412 z - 0.9411764743 z^2 + z^3$ $Q_{21}(a, z) = 3.764705897 - 3.823529413 z - 0.9411764742 z^2 + z^3$
22	$Q_{22}(r, z) = 3.885714293 - 4.000000000 z - 0.8857142876 z^2 + z^3$ $Q_{22}(a, z) = 3.885714293 - 4.000000000 z - 0.8857142876 z^2 + z^3$
23	$Q_{23}(r, z) = 3.783783787 - 3.837837838 z - 0.9459459468 z^2 + z^3$ $Q_{23}(a, z) = 3.783783787 - 3.837837838 z - 0.9459459468 z^2 + z^3$
...
195	$Q_{195}(r, z) = 3.972881356 - 3.979661017 z - 0.9932203390 z^2 + z^3$ $Q_{195}(a, z) = 3.972881356 - 3.979661017 z - 0.9932203390 z^2 + z^3$
196	$Q_{196}(r, z) = 3.986486486 - 4.000000000 z - 0.9864864865 z^2 + z^3$ $Q_{196}(a, z) = 3.986486486 - 4.000000000 z - 0.9864864865 z^2 + z^3$
197	$Q_{197}(r, z) = 3.973154362 - 3.979865772 z - 0.9932885906 z^2 + z^3$ $Q_{197}(a, z) = 3.973154362 - 3.979865772 z - 0.9932885906 z^2 + z^3$
198	$Q_{198}(r, z) = 3.986622074 - 4.000000000 z - 0.9866220736 z^2 + z^3$ $Q_{198}(a, z) = 3.986622074 - 4.000000000 z - 0.9866220736 z^2 + z^3$
199	$Q_{199}(r, z) = 3.973421927 - 3.980066445 z - 0.9933554817 z^2 + z^3$ $Q_{199}(a, z) = 3.973421927 - 3.980066445 z - 0.9933554817 z^2 + z^3$
200	$Q_{200}(r, z) = 3.986754967 - 4.000000000 z - 0.9867549669 z^2 + z^3$ $Q_{200}(a, z) = 3.986754967 - 4.000000000 z - 0.9867549669 z^2 + z^3$
	$W(z) = 4 - 4z - z^2 + z^3$